

ДОСЛІДЖЕННЯ УЛЬТРАЗВУКОВОГО ТРАКТУ ДЕФЕКТОСКОПУ ПРИ РОБОТІ З ДИФРАГОВАНИМИ ХВИЛЯМИ НА ТРИЩИНОПОДІБНИХ НЕСУЦЬЛНОСТЯХ

© Давидов Є. О., 1999

Інститут електрозварювання ім. Є. О. Патона.

Розглянено кількісні залежності дифрагованих хвиль, утворених на тріщиноподібних дефектах. На основі побудованої моделі дифракції ультразвукових хвиль на напівнескінченому розрізі чисельно досліджено повний ультразвуковий тракт дефектоскопу. Отримані аналітичні і чисельні залежності дозволяють здійснити найбільш ефективний вибір схемних рішень і параметрів н'єзоелектричних переворювачів (ПЕП).

Дифракція в твердому тілі на напівнескінченому розрізі

Визначати кількісно амплітуди дифракційних хвиль виражених інтегральними рівняннями з особливостями [2-4] в інженерній практиці практично неможливо. Автором була пророблена подібна робота [5], де необхідно виконувати дії з велими громіздкими аналітичними виразами, що можливо тільки із застосуванням чисельних методів і сучасних засобів обчислювання. Не поменшуючи переваг чисельних рішень, відмітимо, що при цьому приховане фізичне значення процесів, що відбуваються. Тому якісний аналіз стає практично недоступним.

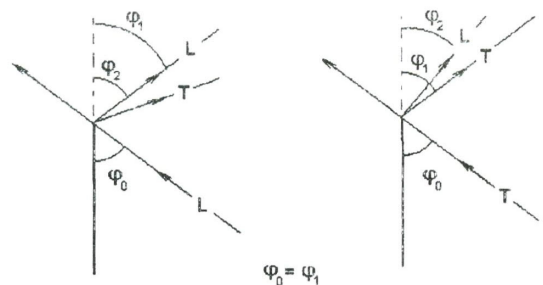
Трохи інакший підхід прийнятий в геометричній теорії дифракції (ГТД). ГТД дозволяє «конструювати» фізичні поля за певними законами, що мають ясний фізичний сенс. Тому застосування механізму ГТД найбільш доцільно використати в інженерних додатках. Найбільш істотним недоліком ГТД є неможливість визначення коефіцієнта дифракції, який можна отримати внаслідок точного рішення «модельної задачі» і потім узагальнити на схожий клас дифракції на напівплощині, що описується інтегралом Френеля [6], яке використовується в більшості робіт по ГТД.

У загальному випадку можливі два варіанти виникнення дифрагованих хвиль: при падінні поздовжньої і при падінні поперечної УЗ хвилі (рис. 1). Згідно з приведеними варіантами дифракції (рис. 1) всякий раз будуть утворюватися три межі світло-тінь, кожна з яких, в свою чергу, буде породжувати процес поперечної дифузії, що приводить до виникнення крайових хвиль. Запишемо рішення задачі в

загальному вигляді

$$U = U_{PP}F + U_LF + U_TF, \quad (1)$$

де U_{PP} - падаюча (первинна) УЗ хвиля, U_L - поздовжня трансформована УЗ хвиля, U_T - поперечна трансформована УЗ хвиля, F - інтеграл Френеля, що описує процес поширення дифрагованої хвилі, для відповідної межі світло-тінь.



Т - позначення поперечної хвилі
L - позначення поздовжньої хвилі
 Φ_0 - кут падіння хвилі на розріз
 Φ_1, Φ_2 - кути відбиття

Рис. 1. Схеми трансформації геометрооптичних складових при падінні УЗ хвилі на розріз в твердому тілі.

У розгорнутому вигляді згідно з позначеннями рис. 2. можемо записати:

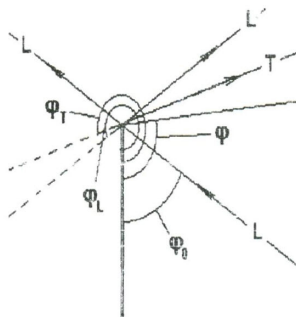
$$\begin{aligned} U_{PP} &= A_0 \exp(iK_{PP}R \cos(\varphi - \varphi_0)), \\ U_L &= A_L \exp(iK_L R \cos(\varphi - \varphi_L)), \\ U_T &= A_T \exp(iK_T R \cos(\varphi - \varphi_T)), \end{aligned}$$

$$U = A_{PP} \exp(iK_{PP}R \cos(\varphi - \varphi_0)) \cdot F\left(\sqrt{2K_L R} \cdot \cos\left(\frac{\varphi - \varphi_0}{2}\right)\right) +$$

$$+ A_L \exp(iK_L R \cos(\varphi - \varphi_L)) \cdot F\left(\sqrt{2K_L R} \cdot \cos\left(\frac{\varphi - \varphi_L}{2}\right)\right) + \\ + A_T \exp(iK_T R \cos(\varphi - \varphi_T)) \cdot F\left(\sqrt{2K_T R} \cdot \cos\left(\frac{\varphi - \varphi_T}{2}\right)\right), \quad (2)$$

де A_{pp} , A_L , A_T - амплітуди УЗ хвиль відповідно для падаючої і відбитої поздовжньої і поперечної, K_L , K_T - хвильові числа для подовжньої і поперечної хвилі, відповідно, φ , φ_0 , φ_L , φ_T - кути хвиль згідно з позначеннями рис. 2, R - відстань від точки спостереження до вершини розрізу,

$F(\xi) = \frac{1}{\sqrt{\pi}} \cdot \int \exp(is^2) \cdot ds$ - інтеграл Френеля.



Φ_0 - кут падіння УЗ хвилі на розріз
 Φ_L, Φ_T - кути трансформованих УЗ хвиль
 Ψ - кут спостереження за хвилею, дифрагованою на розрізі

Рис. 2. Позначення і відлік кутів для розрахункової схеми визначення дифрагованих хвиль.

$$\chi(\xi_{pp}) = \chi(\sqrt{2K_{pp}R} \cos(\varphi - \varphi_0)) = \chi(\pi + \varphi_0 - \varphi), \quad (6)$$

$$\chi(\xi_L) = \chi(\sqrt{2K_L R} \cos(\varphi - \varphi_L)) = \chi(-\pi + \varphi_L - \varphi), \quad (7)$$

$$\chi(\xi_T) = \chi(\sqrt{2K_T R} \cos(\varphi - \varphi_T)) = \chi(-\pi + \varphi_T - \varphi). \quad (8)$$

Оскільки перші три члени формул описують геометрооптичну частину поля, ті що залишилися - виражаютимуть структуру поля дифрагованих хвиль. Таким чином вираз для дифрагованих хвиль можна записати так:

$$U_{\text{диф}} = A_{pp} \cdot \frac{\exp(iKR + \pi/4)}{\sqrt{2\pi R}} \sum_{n=0}^{\infty} \left(\frac{i}{2KR} \right) \frac{(-1)^n \cdot \Gamma(n+1/2)}{2\pi \cdot (\cos(\frac{\varphi - \varphi_0}{2}))^{2n+1}} + \\ + A_L \cdot \frac{\exp(iK_L R + \pi/4)}{\sqrt{2\pi R}} \sum_{n=0}^{\infty} \left(\frac{i}{2K_L R} \right) \frac{(-1)^n \cdot \Gamma(n+1/2)}{2\pi \cdot (\cos(\frac{\varphi - \varphi_L}{2}))^{2n+1}} + \\ + A_T \cdot \frac{\exp(iK_T R + \pi/4)}{\sqrt{2\pi R}} \sum_{n=0}^{\infty} \left(\frac{i}{2K_T R} \right) \frac{(-1)^n \cdot \Gamma(n+1/2)}{2\pi \cdot (\cos(\frac{\varphi - \varphi_T}{2}))^{2n+1}}. \quad (9)$$

Якщо виразити значення відбитих амплітуд A_L і A_T через амплітуду падаючої хвилі U_{pp} , використовуючи для цього відомі формулі для відповідних коефіцієнтів відбиття від площини [1, 7, 9], то можемо отримати часткову формулу для розрахунку

Скористаємося асимптотичним наближенням функції $F(\xi)$ [6]:

$$F(\xi) = \chi(\xi) - i \frac{\exp(i\xi^2)}{2\pi} \sum_{n=0}^{\infty} \frac{\Gamma(n+1/2)}{(i\xi^{n+1/2})}, \quad (3)$$

тут $\Gamma(n+1/2)$ - гамма функція,

$$\chi(\xi) = \begin{cases} 1, & \xi > 0 \\ 0, & \xi < 0 \end{cases} \quad (4)$$

Таким чином можемо записати вираз:

$$U = U_{pp} \chi(\xi) + U_L \chi(\xi_L) + U_T \chi(\xi_T) - \\ - (U_{pp} \cdot i \frac{\exp(i\xi_{pp}^2)}{2\pi} \sum_{n=0}^{\infty} \frac{\Gamma(n+1/2)}{(i\xi_{pp}^{n+1/2})} + \\ + U_L \cdot i \frac{\exp(i\xi_L^2)}{2\pi} \sum_{n=0}^{\infty} \frac{\Gamma(n+1/2)}{(i\xi_L^{n+1/2})} + \\ + U_T \cdot i \frac{\exp(i\xi_T^2)}{2\pi} \sum_{n=0}^{\infty} \frac{\Gamma(n+1/2)}{(i\xi_T^{n+1/2})}). \quad (5)$$

Розривна функція $\chi(\xi)$ враховує геометрооптичну складову хвильового поля, яку в явному вигляді можна виразити так:

$U_{\text{диф}}(\varphi)$. Залишивши старший член в асимптотичному розкладанні інтеграла Френеля, можна спростити (9) для інженерних кількісних оцінок:

$$U_{\text{диф}}(\varphi) = A_{pp} \cdot \frac{\exp(iKR + \pi/4)}{2\sqrt{2\pi KR} \cdot \cos(\frac{\varphi - \varphi_0}{2})} +$$

$$+ A_L \cdot \frac{\exp(iK_L R + \pi/4)}{2\sqrt{2\pi K_L R} \cdot \cos(\frac{\varphi - \varphi_L}{2})} + \\ + A_T \cdot \frac{\exp(iK_T R + \pi/4)}{2\sqrt{2\pi K_T R} \cdot \cos(\frac{\varphi - \varphi_T}{2})}. \quad (10)$$

Запишемо останній вираз в явному вигляді для двох можливих випадків падіння УЗ хвилі на розріз. При падінні поздовжньої хвилі з амплітудою A_{LP} утворяться додатково трансформовані хвилі - поздовжня і поперечна і відповідно цим геометрооптичним складовим утворяться дифраговані хвилі, амплітуди яких ми будемо означати відповідно A_{LL} і A_{LT} . При падінні на розріз поперечної хвилі точно

$$A_{LL} = A_L \cdot \frac{\exp(iK_L R + \pi/4)}{2\sqrt{2\pi K_L R} \cdot \cos(\frac{\varphi - \varphi_0}{2})} + \\ + A_L \cdot \frac{\tg^2(\varphi_T + \pi/2) \cdot \tg(\varphi_T + \pi/2) - \tg(\varphi_L - \pi/2)}{\tg^2(2(\varphi_T + \pi/2)) \cdot \tg(\varphi_T + \pi/2) + \tg(\varphi_L + \pi/2)} \cdot \frac{\exp(iK_T R + \pi/4)}{2\sqrt{2\pi K_T R} \cdot \cos(\frac{\varphi - \varphi_T}{2})}, \quad (11)$$

$$A_{LT} = A_L \cdot \frac{2 \cdot \tg(\varphi_T + \pi/2) \cdot \tg(\varphi_L + \pi/2)}{\tg^2(2(\varphi_T + \pi/2)) \cdot \tg(\varphi_T + \pi/2) + \tg(\varphi_L + \pi/2)} \cdot \frac{\exp(iK_T R + \pi/4)}{2\sqrt{2\pi K_T R} \cdot \cos(\frac{\varphi - \varphi_T}{2})}. \quad (12)$$

2. Падіння хвилі зрушення

$$A_{TT} = A_T \cdot \frac{\exp(iK_T R + \pi/4)}{2\sqrt{2\pi K_T R} \cdot \cos(\frac{\varphi - \varphi_0}{2})} + \\ + A_T \cdot \frac{\tg^2(\varphi_T + \pi/2) \cdot \tg(\varphi_T + \pi/2) - \tg(\varphi_L - \pi/2)}{\tg^2(2(\varphi_T + \pi/2)) \cdot \tg(\varphi_T + \pi/2) + \tg(\varphi_L + \pi/2)} \cdot \frac{\exp(iK_L R + \pi/4)}{2\sqrt{2\pi K_L R} \cdot \cos(\frac{\varphi - \varphi_T}{2})}, \quad (13)$$

$$A_{TL} = A_T \cdot \frac{2 \cdot \tg(\varphi_T + \pi/2) \cdot \tg(\varphi_L + \pi/2)}{\tg^2(2(\varphi_T + \pi/2)) \cdot \tg(\varphi_T + \pi/2) + \tg(\varphi_L + \pi/2)} \cdot \frac{\exp(iK_L R + \pi/4)}{2\sqrt{2\pi K_L R} \cdot \cos(\frac{\varphi - \varphi_L}{2})}. \quad (14)$$

Відповідно отриманим виразам і прийнятим позначенням введемо коефіцієнти дифракції на розрізі $D_{LL}, D_{LT}, D_{TT}, D_{TL}$ тобто

$$A_{LL} = A_L D_{LL}, \quad A_{LT} = A_L D_{LT},$$

$$A_{TT} = A_T D_{TT}, \quad A_{TL} = A_T D_{TL}.$$

Отримані вирази для краївих хвиль нерівномірні. Вони перестають мати математичний сенс на межах світло тінь. У цьому випадку це є наслідком заміни строгоого рішення його асимптотикою - променевим розкладанням. При більш строгому рішенні задачі вирази для краївих хвиль повинні забезпечувати безперервність полів на межах світло - тінь. Цей недолік не є істотним для практики УЗ контролю, оскільки техніка прийому УЗ полів не дозволяє розрізнати геометрооптичну хвиллю від дифрагованої в кутовій області світло - тінь.

Як випливає з отриманих виразів, амплітуда краївих хвиль в \sqrt{K} разів менша, ніж амплітуда породжуючих їх первинного УЗ поля. Це досить важлива обставина, яка буде впливати істотним чином на технологічні умови проведення УЗ контролю.

так само утворяться дві дифраговані хвилі, амплітуди яких ми позначимо A_{TL} (поздовжня) і A_{TT} (поперечна). Оскільки в подальшому викладі ми будемо розглядати конкретні варіанти, то для більшої ясності формальних записів будемо замінювати раніше використовані позначення A_{LP} на A_L при падінні поздовжньої хвилі і на A_T у разі падіння поперечної. Послідовно запишемо всі вирази для амплітуд дифрагованих хвиль на розрізі, використовуючи асимптотичний вираз (10) формулу, (9) і зауваження до неї

1. Падіння хвилі стиснення.

Сильне ослаблення, природно, буде створювати труднощі у виділенні дифрагованих хвиль і їх аналізі, що вимагає спеціальних технічних рішень в програмно-апаратному пристрої дефектоскопу.

На рис. 3 приведений приклад графічного зображення результатів чисельного аналізу викладеної моделі (умовно - ГТД) і моделі роботи [4] (умовно будемо називати - Maye), чисельно виконаної в роботі [5].

Більш обширне порівняння цих моделей дозволяє зробити наступний висновок. Для ПЕП, розташованих по різні сторони від розрізу, різниця в обчислюваннях по різних моделях не перевищує 10 дБ. Якщо використовуються суміщені схеми контролю, то відмінність в результатах може досягати 25-30 дБ.

Як резюме відмітимо, що відмінність в результатах розрахунків пояснюється, насамперед, зробленими спрощеннями. Розглянута тут модель (ГТД) не враховує умов на розрізі (наявність напруженів, стан поверхні і інш.), не враховує виникнення поверхневих хвиль. Відмітимо, що реальна тріщина має зна-

чні відмінності від ідеального розрізу. Якщо досліджується тріщина, наприклад, має шорстку поверхню, що порушує закон відбиття для рівної поверхні і що затруднює виникнення поверхневих хвиль, то приведена тут модель дозволяє процес адаптації, при розумінні основних фізичних процесів дифракції. У протилежність цьому, моделі робіт [2...5] практично неможливо використати, оскільки, по суті, потрібно вирішити нову крайову задачу математичної фізики.

При цьому складністю є вже формалізація шорсткості поверхні. Тому вибір моделі, що використовується повинен вибиратися виходячи з конкретної задачі і параметрів об'єкта контролю. У загальному випадку застосування апарату ГТД більш відповідне, оскільки він носить прикладний характер і досить добре розвинений, що дозволяє застосовувати теорію ГТД в інженерній практиці.

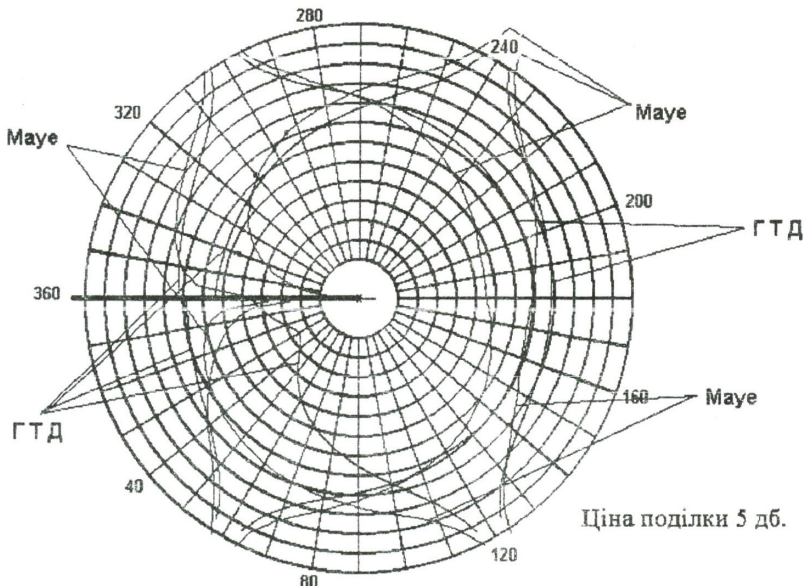


Рис. 3. Порівняння результатів розрахунку для двох моделей дифракції плоскої хвилі на напівнескінченому розрізі. Приведені два випадки залежності амплітуди дифрагованої поздовжньої хвилі від кута спостереження при падінні подовжньої під кутами 60° і 120° .

Ультразвуковий тракт дефектоскопа

На основі отриманих раніше кількісних характеристик дифрагованої хвилі на розрізі, що імітує тріщиноподібні несуцільності, можна виразити ультразвуковий тракт дефектоскопа для тріщиноподібних несуцільностей.

У загальному вигляді формула акустичного тракту записується як

$$A(x, y) = A_0(r) D_1 \Phi_1 D_{\text{диф}} \Phi_2 D_2, \quad (15)$$

де $A(x, y)$ - амплітуда прийнятої дифрагованої хвилі, $A_0(r)$ - амплітуда звукової хвилі на акустичній осі випромінюючого ПЕП, r - відстань між ПЕП і вершиною тріщини, x, y - координати джерела дифрагованої хвилі, D_1 - коефіцієнт прозорості межі випромінюючого ПЕП - середовище, Φ_1 - діаграма спрямованості випромінюючого ПЕП, $D_{\text{диф}}$ - коефіцієнт дифракції (згідно з типом падаючої хвилі), Φ_2 - діаграма спрямованості приймаючого ПЕП, D_2 - коефіцієнт прозорості межі середовище - ви-

промінюючий ПЕП. Значення D_1, D_2 визначаються формулами [10] згідно з типами падаючих і хвиль, що пройшли через межу розділу:

$$D_{LL} = \frac{2Z_1}{\Delta \cos \theta_2} \cos 2\varphi_1 \cdot \cos 2\varphi_2,$$

$$D_{LT} = \frac{2Z_1}{\Delta \cos \varphi_2} \cos 2\varphi_1 \cdot \sin 2\varphi_2,$$

$$D_{TL} = \frac{2w_1}{\Delta \cos \theta_2} \sin 2\varphi_1 \cdot \cos 2\varphi_2,$$

$$D_{TT} = \frac{2w_1}{\Delta \cos \varphi_2} \sin 2\varphi_1 \cdot \sin 2\varphi_2,$$

$$\Delta = \frac{Z_1}{\cos \theta_1} \cos^2 2\varphi_1 + \frac{w_1}{\cos \varphi_1} \sin^2 2\varphi_1$$

$$+ \frac{Z_2}{\cos \theta_2} \cos^2 2\varphi_2 + \frac{w_2}{\cos \varphi_2} \sin^2 2\varphi_2,$$

$$Z_1 = \rho_1 C_{1L}, Z_2 = \rho_2 C_{2L},$$

$$w_1 = \rho_1 C_{1T}, w_2 = \rho_2 C_{2T},$$

де $D_{LL}, D_{LT}, D_{TL}, D_{TT}$ - коефіцієнти прозорості межі розділу двох твердих тіл, що являють собою відношення амплітуд зміщень заломленої і падаючої хвиль, як і раніше, перший індекс в позначенні вказує на тип падаючої хвилі, а другий за типом заломленої хвилі (індекс L - відноситься до поздовжньої хвилі, T - до поперечної), Z_1, Z_2 - питомі акустичні опори першого і другого середовища для поздовжніх хвиль, w_1, w_2 - питомі акустичні опори першого і другого середовища для поперечних хвиль, θ_1, φ_1 - кути падіння і відображення відповідно подовжніх і поперечних хвиль у другій середі, ρ_1, ρ_2 - густота першого і другого середовища, C_{1L}, C_{2L} - швидкість поздовжніх хвиль в першому і другому середовищі, C_{1T}, C_{2T} - швидкість поперечних хвиль в першому і другому середовищі.

Дифрагована хвilia з точки зору її прийому ПЕП нічим не відрізняється від практики прийому «звичайних» УЗ хвиль. По своїй суті це хвилі напруження (в твердому тілі). Тому всі розрахункові схеми діаграм спрямованості повністю застосовні для випадку, що розглядається. Конкретні вирази діаграм спрямованості поля випромінювання - прийому були отримані різними дослідниками і загалом мають хороший рівень наближення до експериментальних результатів. Тут використовувався вираз, отриманий в роботі [8].

Для приведеної на рис. 4 схеми розрахунку УЗ тракту і згідно з позначеннями на ній виконамо необхідні перетворення, щоб отримати вирази для УЗ тракту в явному вигляді для поздовжніх хвиль.

$$\begin{aligned}
 D_1 &= \frac{2Z_{H1}}{\Delta_1 \cos \theta_{H2}} \cos 2\varphi_{H1} \cdot \cos 2\varphi_{H2}, \\
 D_2 &= \frac{2Z_{H2}}{\Delta_2 \cos \theta_{H1}} \cos 2\varphi_{H1} \cdot \cos 2\varphi_{H2}, \\
 \Delta_1 &= \frac{Z_{H1}}{\cos \theta_{H1}} \cos^2 2\varphi_{H1} + \frac{w_{H1}}{\cos \varphi_{H1}} \sin^2 2\varphi_{H1} + \\
 &+ \frac{Z_{H2}}{\cos \theta_{H2}} \cos^2 2\varphi_{H2} + \frac{w_{H2}}{\cos \varphi_{H2}} \sin^2 2\varphi_{H2}, \\
 \Delta_2 &= \frac{Z_{H2}}{\cos \theta_{H1}} \cos^2 2\varphi_{H1} + \frac{w_{H1}}{\cos \varphi_{H1}} \sin^2 2\varphi_{H1} + \\
 &+ \frac{Z_{H2}}{\cos \theta_{H2}} \cos^2 2\varphi_{H2} + \frac{w_{H2}}{\cos \varphi_{H2}} \sin^2 2\varphi_{H2}, \\
 Z_{H1} &= \rho_{OK} C_{LOK}, Z_{H2} = \rho_{OK} C_{LOK}, Z_{H2} = \rho_{PP2} C_{LPP2}, \\
 w_{H1} &= \rho_{PP1} C_{TTP1}, w_{H2} = \rho_{OK} C_{TOK}, w_{H1} = \rho_{OK} C_{TOK}, \\
 w_{H2} &= \rho_{PP2} C_{TTP2}, \\
 \frac{\sin \theta_{H1}}{C_{LPP1}} &= \frac{\sin \varphi_{H1}}{C_{TTP1}} = \frac{\sin \theta_{H2}}{C_{LOK}} = \frac{\sin \varphi_{H2}}{C_{TOK}}, \\
 \frac{\sin \theta_{H1}}{C_{LOK}} &= \frac{\sin \varphi_{H1}}{C_{TOK}} = \frac{\sin \theta_{H2}}{C_{LPP2}},
 \end{aligned}$$

де ρ_{PP1} - густота матеріалу призми ПЕП 1, ρ_{PP2} - густота матеріалу призми ПЕП 2, ρ_{OK} - густота матеріалу середовища об'єкта контролю, C_{LPP1}, C_{LPP2} , C_{TTP1}, C_{TTP2} - швидкість поздовжніх і поперечних УЗ хвиль в матеріалах призм відповідно для ПЕП 1 і ПЕП 2, C_{LOK}, C_{TOK} - швидкість поздовжніх і поперечних УЗ хвиль в матеріалі об'єкту контролю, θ_{H1}, θ_{H2} - кути призм для ПЕП 1 і ПЕП 2 відповідно.

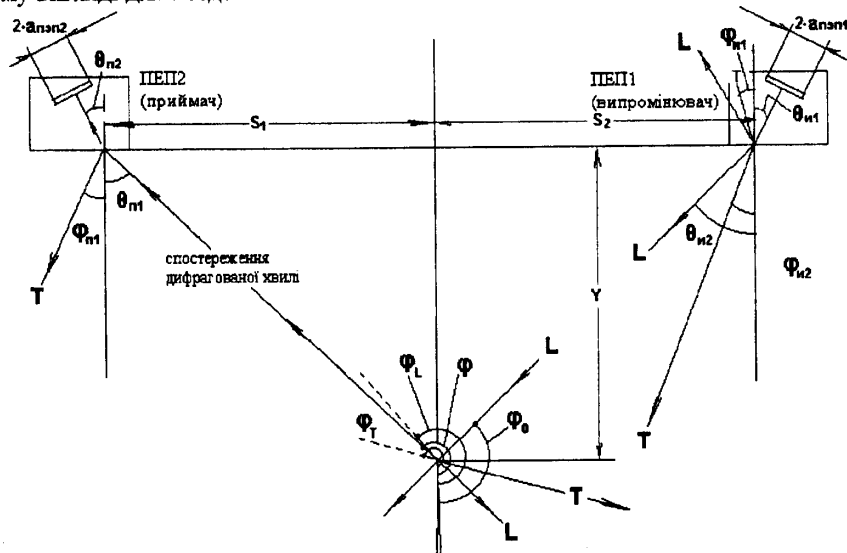


Рис. 4. Схема з умовними позначеннями для розрахунку ультразвукового тракту дефектоскопу.

Для $D_{\text{диф}}$ використовуємо конкретний вираз (11) (є окремим випадком (10)), яке ми будемо використовувати для визначення залежностей у виразі ультразвукового тракту

$$D_{\text{диф}} = \frac{\exp(iK_L R + \pi/4)}{2\sqrt{2\pi K_L R \cdot \cos(\frac{\varphi - \varphi_0}{2})}} + \frac{\tg^2(\varphi_T + \pi/2) \cdot \tg(\varphi_T + \pi/2) - \tg(\varphi_L - \pi/2)}{\tg^2(2(\varphi_T + \pi/2)) \cdot \tg(\varphi_T + \pi/2) + \tg(\varphi_L + \pi/2)} \cdot \frac{\exp(iK_L R + \pi/4)}{2\sqrt{2\pi K_L R \cdot \cos(\frac{\varphi - \varphi_L}{2})}},$$

$$\text{де } \varphi_0 = \frac{\pi}{2} + \arctg\left(\frac{Y}{S_1}\right), \varphi_L = 2\pi - \varphi_0, \varphi_T = \varphi_L - \frac{C_{\text{ЛОК}}}{C_{\text{ТОК}}} \sin\left(\frac{\pi}{2} - \varphi_0\right), R = \sqrt{S_1^2 + Y^2}.$$

Вираз для діаграм спрямованості ПЕП 1 і ПЕП 2 згідно з прийнятими позначеннями можна записати так:

$$\Phi_1(\pi - \varphi_0) = \frac{\sin[K_L \cdot a_{2\text{ПЭП1}} (\sin \theta_{H2} - \sin(\pi - \varphi_0)) \cdot \cos^{-1} \theta_{H1}]}{K_L \cdot a_{2\text{ПЭП1}} (\sin \theta_{H2} - \sin(\pi - \varphi_0)) \cdot \cos^{-1} \theta_{H1}},$$

$$\Phi_2(\varphi - \pi) = \frac{\sin[K_L \cdot a_{2\text{ПЭП2}} (\sin \theta_{P1} - \sin(\varphi - \pi)) \cdot \cos^{-1} \theta_{P2}]}{K_L \cdot a_{2\text{ПЭП2}} (\sin \theta_{P1} - \sin(\varphi - \pi)) \cdot \cos^{-1} \theta_{P2}}.$$

Амплітуду УЗ поля на осі ПЕП 1 виразимо кількісною залежністю [1, стор. 89]:

$$A_0 = 2 \sin\left(\frac{K_L}{2} (\sqrt{(a_{2\text{ПЭП1}})^2 + (S_1^2 + Y^2)} - \sqrt{S_1^2 + Y^2})\right).$$

Таким чином, всі приведені вирази записані в явній формі і можуть бути розраховані для конкретних параметрів ПЕП і їх розташування відносно розрізу. Аналогічно можна сконструювати УЗ тракти для всіх випадків падіння і трансформацій, згідно рис. 4.

Досліджуємо чисельно залежність амплітуди дифрагованої хвилі для симетричного розташування ПЕП відносно розрізу при умові, що край розрізу знаходиться точно на перетині акустичних осей ПЕП. При такому розташуванні ПЕП амплітуда дифрагованої хвилі буде знаходитися біля свого максимального значення. Відмітимо, що перетин акустичних осей випромінюючого і приймального ПЕП на вершині тріщини ще не означає досягнення максимального значення при заданій базі між ПЕП. Насправді воно дещо зміщено. Для звичайної технологічної практики це зміщення не є істотним і його можна не брати до уваги. Тут дослідження цієї залежності не приводиться внаслідок малозначимості отриманого результату. На якісному рівні такий результат пояснюється досить гострою діаграмою спрямованості реальних ПЕП. Тому прагнення прийти до цього розташування в процесі проведення вимірювань є природним. При проведенні розрахунків будемо виходити з традиційної технологічної практики проведення УЗ контролю: застосовуються п'єзоелектричні перетворювачі з призмами, виконаними з оргскла. Матеріал об'єкта контролю - звичайна конструкційна сталь. Затухання в оргсклі призми і в матеріалі об'єкта контролю не враховуємо, оскільки ці характеристики є специфічними константами конкретного матеріалу і не відображають

найбільш загальну практику УЗК.

На рис. 5 приведені результати розрахунку амплітуди дифрагованої хвилі в розглянутій моделі УЗ тракту.

На рис. 6 і рис. 7 приведені результати розрахунку амплітуди дифрагованої хвилі в розглянутій моделі УЗ тракту при різних частотах і діаметрах ПЕП.

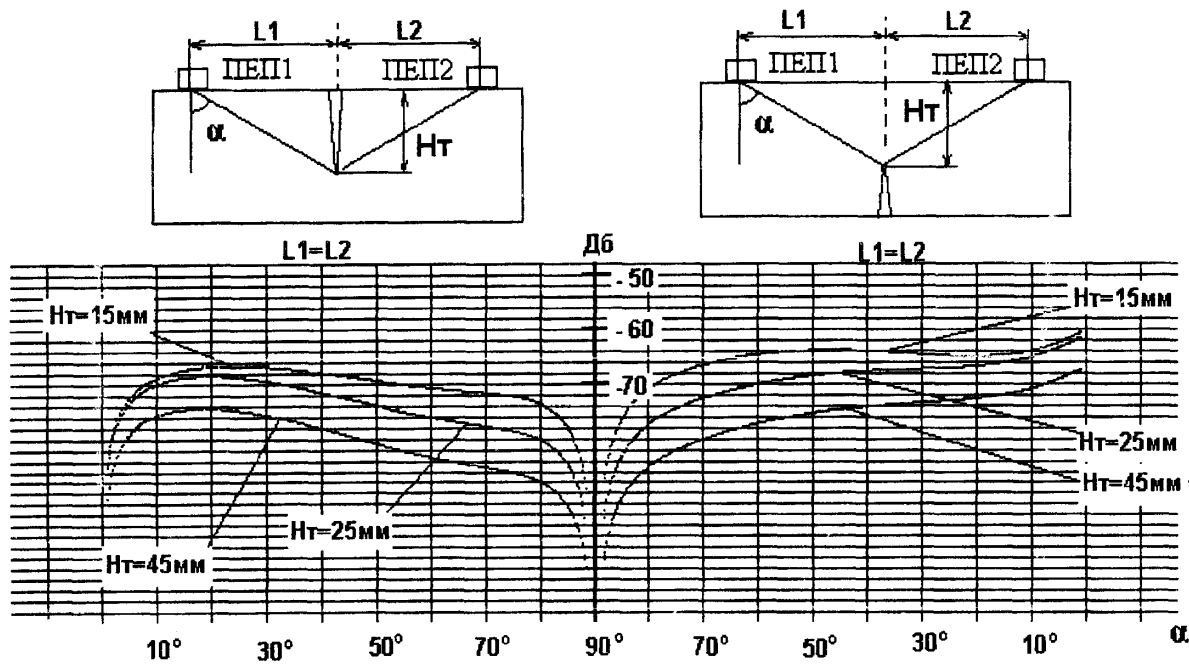
Співставлення результатів розрахунків, що проводяться за різними моделями подане на рис. 8.

Більш обширна зміна параметрів УЗ тракту не виявила яких-небудь помітних особливостей в залежностях амплітуди дифрагованої хвилі в порівнянні з приведеними на рис. 5 ... рис. 8.

Кінцевою метою розрахунку УЗ тракту є знаходження найбільш оптимальних параметрів технологічних схем УЗ контролю для досягнення максимальної амплітуди дифрагованої хвилі. З цієї точки зору найбільш загальним висновком може бути рекомендація використати ПЕП з кутами вводу 60°-70° для досягнення найбільших амплітуд дифрагованих хвиль. Такий висновок не є оптимальним з точки зору досягнення найбільшої точності вимірювань геометричних розмірів тріщин, що проводяться. Тому загальний підхід до контролю дифрагованими хвильми можна розбити, принаймні, на дві стадії:

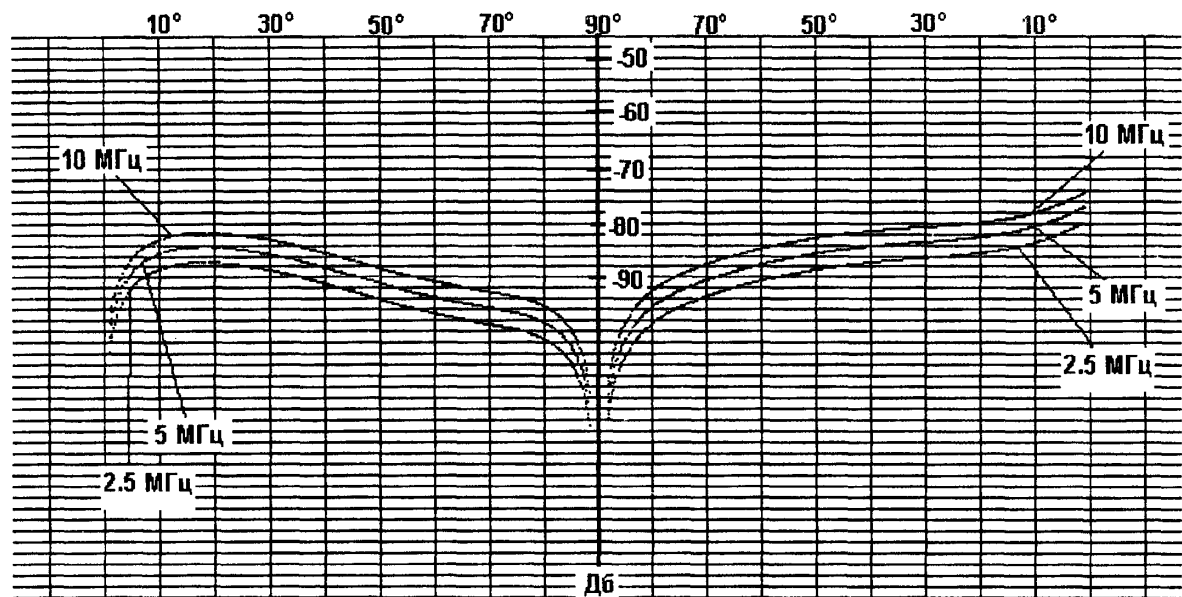
- 1) пошук дефектів,
- 2) визначення їх геометричних розмірів.

При такому підході в кожному конкретному випадку можна запропонувати найбільш оптимальні схематичні рішення.



Ціна поділки - 2 дБ. Діаметр п'єзоелементів ПЕП 10 мм. Частота ПЕП 5 МГц.

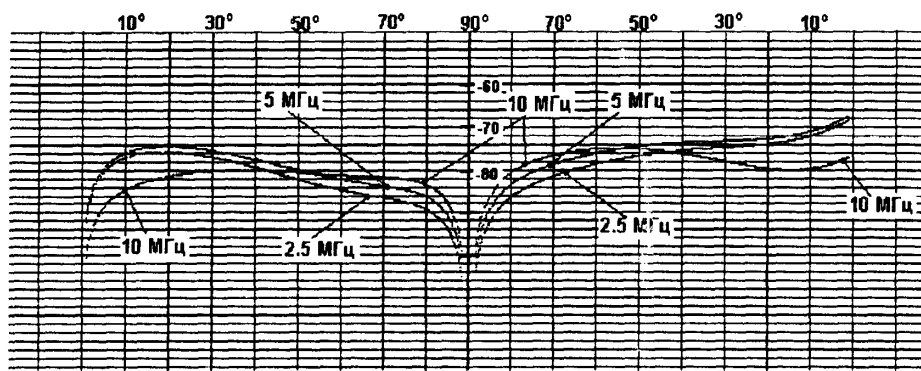
Рис. 5. Графічне представлення амплітуди дифрагованої хвилі для розглянутої розрахункової моделі УЗ тракту. Діаметр п'єзоелемента (випромінюючого і приймального) рівний 10 мм.



Діаметр ПЕП 10 мм.

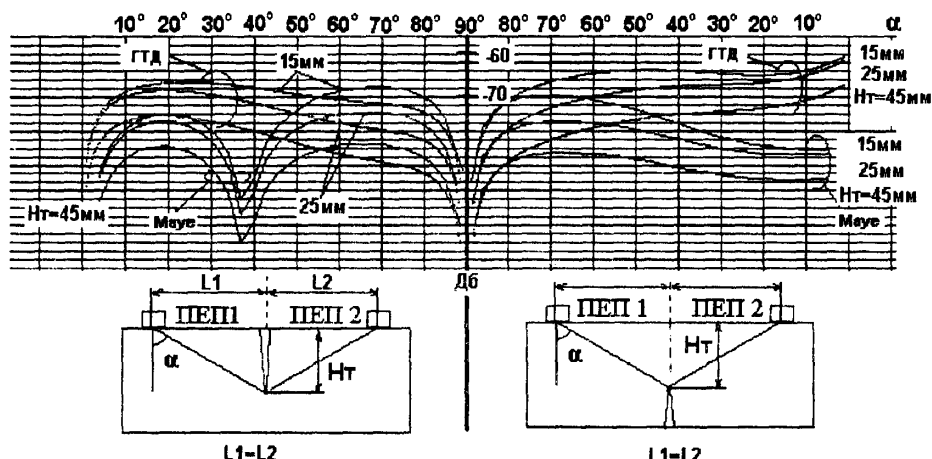
Hт=100 мм

Рис. 6. Графічне представлення амплітуди дифрагованої хвилі для різних частот ПЕП.



Діаметр ПЕП 20 мм.
Нт=100 мм.

Рис. 7. Графічне представлення амплітуди дифрагованої хвилі для різних частот ПЕП.



Ціна поділки - 2 дБ

Діаметр п'єзоелементів ПЕП 10 мм. Частота ПЕП - 5 МГц.

Рис. 8. Порівняння результатів розрахунку амплітуд дифрагованих хвиль для різних моделей (ГТД і Maye).

1. Ультразвуковой контроль материалов: Справочное издание Й. Крауткремер, Г. Крауткремер; Перевод с немецкого - М: Металлургия, 1991.
2. Филиппов А.Ф. Некоторые задачи дифракции плоских упругих волн Прикладная математика и механика. 1956, т. XX С. 688-703.
3. Фридман М. М. Дифракция плоской упругой волны относительно полубесконечного прямолинейного разреза, свободного от напряжений. ДАН СССР, 1949, т. 66, № 1 С. 21-24.
4. Maue A.W. Die Beugung elastischer Wellen an der Halbebene. Zeitschrift für angewandte Mathematik und Mechanik, 1953, Bd. 33, Heft 1/2, Р. 1-10.
5. Давыдов Е. А. Асимптотическое определение дифрагированных волн на полубесконеч-

ном разрезе при ультразвуковом контроле. Техническая диагностика и неразрушающий контроль. №4, 1999, С. 12-19.

6. Боровиков В. А., Кинбер Б. Е. Геометрическая теория дифракции. М: Связь, 1978.
7. Дианов Д. В. Исследование направленности призматических преобразователей. Дефектоскопия № 2, 1965, С. 8-22.
8. Гребенник В. С., Тайц М. З. Расчет направленности призматического сканера., Дефектоскопия № 1, 1981, С. 87-101.
9. Кайно Г. Акустические волны: Устройства визуализации и аналоговая обработка сигналов: Перевод с англ. - М: Мир, 1990.
10. Дианов Д. В. Труды семинара по физике и применению ультразвука. ЛЭТИ им. В.И. Ульянова (Ленина), 1958.